

Д-426

ОБЪЕДИНЕННЫЙ ИНСТИТУТ ЯДЕРНЫХ
ИССЛЕДОВАНИЙ
ЛАБОРАТОРИЯ ТЕОРЕТИЧЕСКОЙ ФИЗИКИ

На правах рукописи

ДЖРБАЩЯН ВАГАРШАК АКОПОВИЧ

НЕКОТОРЫЕ ЭФФЕКТЫ ПОЛЯРИЗАЦИИ СПИНА
ЧАСТИЦ И ЯДЕР И ПРИЛОЖЕНИЯ ТЕОРИИ СИММЕТРИЙ

(на русском языке)

01.04.02 теоретическая и математическая физика

АВТОРЕФЕРАТ

диссертации, на соискание ученой степени
доктора физико-математических наук

ДУБНА 1974

Физико-химический и геологический факультет
студенческий научно-исследовательский
ОБЪЕДИНЕННЫЙ ИНСТИТУТ ЯДЕРНЫХ ИССЛЕДОВАНИЙ
ЛАБОРАТОРИЯ ТЕОРЕТИЧЕСКОЙ ФИЗИКИ

• Изложение в **На правах рукописи**

Избагарек, С.Р. Член Ученого совета ядерной физики
Козинская, Т.А. Член Ученого совета ядерной физики
Дирбашян

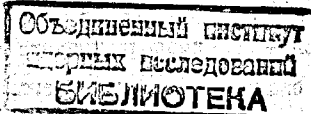
Исакян, Г.С. Член Ученого совета ядерной физики

Вагаршак Акопович

Некоторые эффекты поляризации спина частиц и ядер
и приложения теории симметрий

Специальность 01.04.02 - теоретическая и математическая физика

Автореферат доктора физико-математических наук



Дубна 1974

Работа выполнена в теоретическом секторе
Ереванского физического института

Официальные оппоненты:

доктор физико-математических наук	С.С.Герштейн
доктор физико-математических наук	А.Т.Филиппов
доктор физико-математических наук	Т.Л.Асатиани

Ведущее научно-исследовательское учреждение:

Институт теоретической и экспериментальной физики
(г.Москва)

Автореферат разослан "12 марта" 1974 г.

Захита диссертации состоится " " май 1974 г.

С диссертацией можно ознакомиться в библиотеке СИЯИ.

Ученый секретарь Совета

Р.А.Асанов

Первыми экспериментами, доказавшими нарушение пространственной четности в слабых взаимодействиях, были эксперименты Ву и др., наблюдавших асимметрию "вверх-вниз" при β -распаде поляризованных ядер ^{60}Co , и Ледермана и др., обнаруживших продольную поляризацию μ^- -мезонов, возникающих при распаде $\bar{\pi}$ -мезонов. Эти эффекты могут быть описаны как корреляции спина и скорости типа $S \cdot \vec{v}$, меняющего знак при пространственной инверсии. Таким образом, при количественном описании эффектов, наряду с величинами, связанными сугубо с природой слабого взаимодействия, необходимо принимать во внимание степень поляризации.

В разделе А главы I рассмотрен механизм, объясняющий величину остаточной поляризации μ^- -мезонов, наблюденную в вышеуказанной работе и в других многочисленных работах, осуществленных аналогичной методикой позже.

[I] В работе впервые было показано, что этот механизм в основном обусловлен спин-орбитальным взаимодействием в μ^- -мезонатоме, которое приводит к прецессии спина μ^- -мезона благодаря тому, что на мезонатомных уровнях μ^- -мезон живет достаточно долго. Именно, за исключением верхних, сильно возбужденных состояний, для уровней с тонким расщеплением ν и шириной 2γ выполняется соотношение

$$v/2\gamma \geq 1. \quad (1)$$

Этот же механизм проявлялся при изучении [2,3] угловых корреляций γ -квантов, излучаемых мезоатомами с неполяризованными μ^- -мезонами. В последнем случае, уменьшая неравномерность заселенности m -подуровней, он приводил к уменьшению анизотропии.

Пусть μ^- -мезон с начальной поляризацией P_0 захватываясь на орбиту мезоатома, последовательными переходами Оже доходит до первого уровня с орбитальным моментом ℓ_x , для которого имеет место условие (1). Затем следует каскад $\ell_x(1)\ell_{x-1}(1) \dots \ell_1(1)$ мезоатомных переходов с электрическими дипольными излучениями электронов Оже или γ -квантов. Доходя до уровня ℓ_i , μ^- -мезон может распадаться, приводя, благодаря остаточной поляризации P_0 , к определенному угловому распределению электронов распада.

Используя теорию групп вращений, алгебру Рака и формализм матрицы плотности, выведена формула [1], определяющая деполяризацию в случае мезоатомов с ядерным спином ноль:

$$\left(\frac{P}{P_0}\right)_{\ell_x, \ell_{x-1}, \dots, \ell_1} = \sum_{j_x, j_{x-1}, \dots, j_1} \begin{Bmatrix} j_x & j_x & 1 \\ 1/2 & 1/2 & \ell_x \end{Bmatrix} \times \\ \times \prod_{i=0}^{N-2} B(j_{x-i}, j_{x-i-1}, \ell_{x-i}, \ell_{x-i-1}) \frac{(2j_i+1)^2}{2\ell_i+1} \begin{Bmatrix} j_i & j_i & 1 \\ 1/2 & 1/2 & \ell_i \end{Bmatrix}, \quad (2)$$

где каждая из $N-1$ величин B под знаком произведения дается выражением

$$B(j_i, j_{i-1}, \ell_i, \ell_{i-1}) = (-1)^{\ell_i + \ell_{i-1} + 1} (2\ell_{i-1} + 1) \times \\ \times (2j_i + 1)^2 \begin{Bmatrix} j_i & j_i & 1 \\ j_{i-1} & j_{i-1} & 1 \end{Bmatrix} \begin{Bmatrix} j_i & j_{i-1} & 1 \\ \ell_{i-1} & \ell_{i-1} & 1/2 \end{Bmatrix}^2. \quad (3)$$

Здесь и выше с помощью фигурных скобок обозначены $6j$ -символы Вигнера.

Суммируя по значениям полных моментов j_i ($i = 1, 2, \dots, N$), для наиболее вероятного исходящего каскада $\ell_i = \ell_{i-1} - 1$ ($i = N-1, N-2, \dots, 1$), из (2) получается

$$\left(\frac{P}{P_0}\right)_{\ell_x, \ell_{x-1}, \dots, \ell_1} = \frac{1}{3} \left[\frac{(2\ell_x+3)(\ell_x+1)}{(2\ell_x+1)^2} - \right. \\ \left. - \sum_{\ell=\ell_x+1}^{\ell_x} \frac{4\ell^2 - 5}{(4\ell^2 - 1)^2} + \frac{(2\ell_x-1)\ell_x}{(2\ell_x+1)^2} \right]. \quad (4)$$

Поскольку распад происходит в основном из состояния $1S$, то отсюда следует приближенная оценка отношения остаточной и начальной поляризаций при больших ℓ_x (~ 14):

$$P/P_0 \approx 18\% \quad (5)$$

Этот вывод остается в силе при учете вида каскадов других типов, такие исследованных в диссертации.

Результат (5), полученный несколько позже также И.М.Шмуклевичем, качественно согласуется с результатами экспериментов в различных элементах. Часть из них систематизирована А.О.Вайсенбергом (см. также обзорные доклады А.И.Алиханова и Р.Е.Маршака на IX Между-

народной конференции по физике высоких энергий).

Однако точность, достигнутая в теории и в эксперименте, позволяет делать более непосредственное сравнение.

Так, в случае углерода ($Z = 6$) первая в каскаде циркулярная орбита, для которой имеет место условие (I), необходимое для деполяризации, характеризуется квантовыми числами $n = 5$, $\ell = 4$. Предполагал, что в начале заселена лишь циркулярная орбита и подставляя значения $\ell_1 = 4$, $\ell_2 = 0$ в формулу (4), найдем $P/P_0 = 23,4\%$.

Вычисление этого отклонения, при использовании более реалистического статистического распределения ($\sim 2\ell + 1$) начального уровня с $n = 14$, приводит к

$$P/P_0 = 19\%. \quad (6)$$

Таким образом теоретическое значение остаточной поляризации мало чувствительно относительно первоначальной заселенности. Некоторое уменьшение по сравнению с первым случаем (несмотря на то, что на уровне с $n = 5$ распределение по ℓ становится более равномерным) обусловлено тем, что I. во втором случае, наряду с исходящими, важны осциллирующие каскады, 2. условие деполяризации (I) для нециркулярных орбит наступает раньше, чем для циркулярных.

Используя значение (6), следующее таким образом из предложенной теории деполяризации, нетрудно убедиться, что для углерода V-A теория хорошо согласуется с результатами экспериментов Р.Престона и др. (Колумбийский университет, $P/P_0 = 19 \pm 3\%$) и В.С.Евсеева и др. (ОИЯИ, $P/P_0 = 19,4 \pm 1,1\%$).

С ростом Z увеличивается число уровней, удовлетворяющих условию (I), что приводит к большей деполяризации μ^- -мезона.

Однако для тяжелых мезонов должно наблюдаться насыщение, поскольку вклад уровней с большими значениями орбитального момента в общую величину P становится мал [4]. Поэтому, погрешность мал.

Влияние магнитного момента электронной оболочки с полным моментом j_e должно было привести к дополнительной деполяризации, характеризуемой фактором

$$\mathcal{F} = (4j_e^2 + 4j_e + 3)/3(2j_e + 1)^2. \quad (7)$$

Сделанное предположение о том, что в конденсированном веществе влияние соседних атомов и электронов приводит к компенсации магнитного момента, подтверждается рядом экспериментальных исследований.

Естественно, измерения, проведенные при низких температурах, а также для разных химических соединений, не могут претендовать на согласие с развитой теорией из-за вступления в игру дополнительных взаимодействий.

В разделе A главы I выведена также общая формула [4,5] для угловых корреляций двух последовательных излучений мезоната с поляризованным мезоном. Частные случаи [6] этого выражения, учитывающего одновременно корреляции направлений и поляризаций излучений, предоставляют возможность определения спиральности мезона, независимо от спиральности нейтрино.

В случае поляризованного мезона, в отличие от случая, когда мезон не поляризован, взаимодействие спин-орбита может привести к увеличению анизотропии излучений мезонатом.

В угловом распределении циркулярно поляризованных γ -излучений, являющимся одним из случаев, где это проявляется, учтена [7] де-

поляризации μ^- -мезонов из-за предшествующих мезонатомных переходов. Частный случай полученной формулы для перехода $2P - 1S$, когда условие (1) выполняется начиная с $\ell_x = 14$, имеет вид

$$W = 1 + 0,1028P \cos \theta, \quad (8)$$

где величина $T = 1$ ($T = -1$) для право- (лево-) циркулярно поляризованного γ -кванта.

В эксперименте Ву и др. главной трудностью было получение ориентации ядерных спинов. С этой целью применялся метод поляризации ядер взаимодействием с электронными оболочками парамагнитных ионов.

Раздел Б главы I посвящен развитию теории [8, 9] этого эффекта, предложенной в первоначальном виде Гортером и Роузом. На её основании показано [9], что эксперимент Ву и др., с учетом влияния кулоновского поля ядра на среднюю скорость электронов, согласуется с $V-A$ теорией вдоль всей кривой асимметрии. Вид последней (см. рис. 5 диссертации) несколько отличается от вида известной кривой, приведенной авторами эксперимента. Указанный вид следует из углового распределения электронов, испущенных при β -распаде ядер ^{60}Co :

$$W(\theta) \sim 1 + \alpha \cos \theta, \quad (9)$$

где

$$\alpha = (1-\delta) A \frac{\bar{V}_e}{c} f_1(T), \quad (10)$$

есть коэффициент асимметрии, θ - угол между направлениями поляризации ядра и вектора электрона. Величина δ - поправка на рассеяние назад, равная в этом эксперименте 0,35. В множителе A , который должен быть равен -1 в случае $V-A$ варианта, представлены константы связи слабого взаимодействия C_1 и C'_1 . Для вычислений в диссертации средней скорости электронов \bar{V}_e/c получается значение 0,54 (в работе Ву и др. приведено 0,6) и 0,48 соответственно без учета и при учете влияния кулоновского поля ядра. Уменьшение \bar{V}_e/c в последнем случае связано с отрицательным Ферми сдвигом влево максимума импульсного спектра.

В выражении (10) $f_1(T)$ есть зависящая от температуры T степень поляризации ядер ^{60}Co в состоянии со спином $I=5$.

В использованном подходе [9], исходя из гамильтонiana парамагнетика во внешнем поле H $\mathcal{H} = g\mu HS_z + A I_z S_z + B(I_z S_z + I_z S_z)$, в первом приближении получается

$$f_1 = f_1^{(0)} + \delta \left(\coth \frac{\varphi}{\lambda} + 1 \right) \left[\left(\frac{1}{\lambda} - I f_1^{(0)} + \frac{1}{\alpha \tau} \right) f_1^{(0)} + \frac{3}{2} I f_2^{(0)} \right], \quad (II)$$

где $\delta = B^2 S^2 / 2g\mu H$, $\varphi = -AS^2$, $\tau = -1/kT$, $\alpha = g\mu H$.

Это выражение объединяет как частные случаи известные формулы:

1) при $B/g\mu H \rightarrow 0$ получается $f_1 = f_1^{(0)}$, т.е. формула нулевого приближения, график которой использован Ву и др. при интерпретации опыта;

2) при $\varphi \ll 1$, $f_1 = \frac{I+1}{3} \left[\varphi + \delta \left(1 + \frac{2}{\alpha \tau} \right) \right]$, которая есть формула, полученная Роузом и др.

Выражение (II) имеет симметричный вид. Все члены в добавке к нужному приближению содержат в качестве множителей $\delta(\cosh \frac{\varphi}{2} + 1)$ и степень ориентации некоторого порядка. Эти свойства сохраняются во втором приближении, которое и используется для сравнения с экспериментом.

В трактовке Ву величина A в формуле (IO) принимает значение -1 лишь для одной левой точки кривой асимметрии. Между тем её значение должно быть одно и то же для всех точек.

В эксперименте фактически была наблюдена зависимость асимметрии от температуры, которая входит неявным образом, через время. Зависимость температуры от времени можно найти, используя формулу [IO] для γ — анизотропии и результаты измерения последней.

Подставив найденную зависимость в аргумент вычисленного выражения для φ , получится ход поляризации, как функции от времени. Воспользовавшись, наряду с этим, формулами (9) и (IO) проводится сравнение с экспериментом. Полученная кривая согласуется с результатами измерения лучше, чем приведенная Ву и др. Для полей $H \sim 1000$ гаусс следует значение $A = -0,9$.

Выяснена [IO] физическая причина наблюдений Амблером и др. зависимости степени ориентации от внешнего магнитного поля, порядка нескольких сот арстед. Она заключается в том, что через связь сверхтонкой структуры ядро противодействует поляризации электронной оболочки внешним полем.

Наряду с методом Гортера — Роуза, исследована другая возможность поляризации ядер взаимодействием с электронными оболочками. В то время, как в первом случае поляризация ядер направлена противоположно поляризации электронов, при поляризации ядер поляризованными электронами, захваченными из орбиты, эти направления совпадают.

В связи с обнаружением ядерных уровней с большими спинами и улучшением точности эксперимента представляет интерес оценка степени ориентации произвольного порядка к $\varphi_k(I)$. Согласно [II] доказанной теореме в первом неисчезающем приближении

$$\varphi_k(I) = V_k(I) \varphi^k \quad (12)$$

где

$$V_k(I) = \frac{k!(2I+k+1)!}{[2^k(2k-1)!!]^2 (2k+1)(2I-k)(2I+1) I^k},$$

V — величина, через которую определяется заселенность: $a_m \sim \exp[\varphi m]$

(Например, в случае поляризации ядер внешним полем $\varphi = \mu H / kT$, а в случае метода Гортера — Роуза, при $B/\partial\theta H \ll 1$, $\varphi = AS/kT$).

В главе II известные теории, относящиеся к проблеме электромагнитного возбуждения ядер медленными частицами, обобщены [12-18] в двух направлениях:

1) допущено, что падающая частица может иметь произвольный спин и рассмотрен вклад спинового магнитного момента в мультипольное возбуждение,

2) введено ядерное взаимодействие как посредством фазы потенциального рассеяния δ_ℓ , так и через механизм составного ядра.

Выведена дисперсионная формула в теории возбуждения ядер [14], правильным фазовым множителем резонансной части амплитуды. Следствием неравномерности распределения m — подуровней являются дифференциальное сечение возбуждения [17], полученные на её основе, и угловое распределение γ -лучей, испускаемых при снятии возбуждения ядер [18].

Полное сечение возбуждения ядер нерелятивистскими частицами представляется в виде [15,17] :

$$\sigma = \sum_{\lambda=1}^{\infty} [(\sigma_1^{\lambda E} + \sigma_1^{\lambda M \text{орб.}} + \sigma_1^{\lambda M \text{спин.}}) + \\ + (\sigma_{12}^{\lambda E} + \sigma_{12}^{\lambda M \text{орб.}} + \sigma_{12}^{\lambda M \text{спин.}})] + \sigma_2. \quad (13)$$

Первое выражение в круглых скобках есть сечение потенциального неупругого рассеяния. Оно является суммой сечений электрического, магнитно-орбитального и магнитно-спинового возбуждений. Ядерное взаимодействие также даёт вклад в эти сечения (через фазу δ_ρ). Второе выражение в круглых скобках соответствует интерференции между потенциальным и ядерно-резонансным неупругим рассеяниями. σ_2 — сечение неупругого рассеяния, которое обусловлено образованием составного ядра, могущего проявляться в изобарически аналогичных состояниях.

Из развитой теории следует, что для изденных частиц вклад в интерференции кулоновского и ядерно-резонансного возбуждений в полном сечении должен быть малым. Этот вывод согласуется [16,17] с экспериментальными данными. Фигеры и др. и Форда и др. для реакции $N_d^{13}(p, p' \gamma) N_d^{13}$.

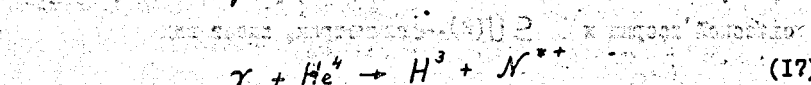
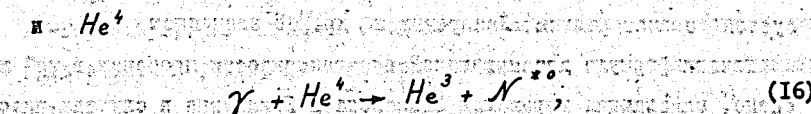
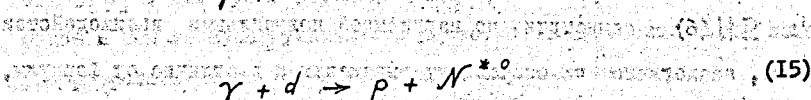
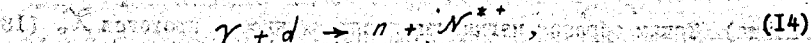
Установлено, что сечение σ^{λ^2} — польного магнитно-спинового возбуждения пропорционально $i(i+1)\mu_p^2$, где $\lambda Z, \mu_p^2$ есть спиновый магнитный момент частицы, и выражается через сечение $\sigma^{2\lambda+1}$ — польного электрического возбуждения.

При рассмотрении вопросов, составляемых содержание разделов IA, IB и главы II был использован формализм группы вращений. Эта группа, локально изоморфная группе $SU(2)$, применялась в трехмерном спин-орбитальном пространстве.

Вопросы, обсуждаемые в главе III, связаны с более высокими симметриями.

Болественным обобщением изобарической инвариантности явилась теория унитарной симметрии. Неприводимые представления группы $SU(3)$ описывают мультиплеты, объединяющие изобарические мультиплеты с разными гиперзарядами. Электромагнитное взаимодействие, наряду с полусильным, рассматривается как возмущение, нарушающее симметрию. Этим взаимодействием, в частности, обусловлены процессы фоторождения [19], а также магнитная восприимчивость и поляризация [20,21] барионов в $SU(6)$ -симметрии.

Наряду с соотношениями для амплитуд фоторождения, следующими из полной группы $SU(3)$, используя коэффициенты Клебша-Гордана этой группы, можно найти и такие, которые являются следствием её подгруппы $SU(2)$, относящейся к изоспину, и предположения, что γ -квант есть суперпозиция изоскаляр и изовектора. Для фоторождения на дейtronе



отсутствие в электромагнитном взаимодействии членов с изобарическими спинами $I \geq 2$ должно приводить к равенству сечений реакций как в первой паре (14), (15) так и во второй (16), (17).

Благодаря соотношению спектроскопической стабильности, остающейся в силе также в $SU(6)$ -симметрии, магнитная восприимчивость в первом приближении пропорциональна квадрату магнитного момента

$$\chi_B = \frac{N}{kT} \frac{\langle B | \vec{M}^2 | B \rangle}{3} \quad (18)$$

Выражение (18) вычислено для 18 баронов, заполняющих неопределенное представление 56, в симметрии, не нарушенной полусильным взаимодействием. В случае протонов квадрат магнитного момента

$\langle p | \vec{M}^2 | p \rangle$ равен $\mu_p^2 + 3\mu_p^2 + (17/3)\mu_p^2$ в классической теории, в симметриях $SU(2)$ и $SU(6)$, соответственно (μ_p - максимальное значение проекции магнитного момента). Таким образом магнитная восприимчивость протонов χ_p (18) в $SU(6)$ -симметрии, не нарушенной полусильным взаимодействием, аналогично классическому выражению и в отличие от формулы, следующей из $SU(2)$ и $SU(3)$ -симметрий, не согласуется с измеренным Лазаревым и др. её значением.

Точная формула для магнитной восприимчивости протонов в той же схеме, заменяющая выражения Ланжевена и Бриллюзена в случаях классической теории и $SU(2)$ -симметрии, имеет вид

$$\chi_p = \frac{N\mu}{3H} \frac{103h\frac{5}{3}\alpha + sh\frac{1}{3}\alpha}{2ch\frac{5}{3}\alpha + ch\frac{1}{3}\alpha}, \quad (19)$$

где $\alpha = \mu H/kT$.

Получены выражения для магнитной восприимчивости и поляризации протонов также в схеме $SU(6)$ -симметрии, нарушенной полусильным взаимодействием. При умеренных магнитных полях эти выражения совпадают с соответствующими выражениями в $SU(2)$ -симметрии и согласуются с экспериментом. Наибольшее отличие от $SU(2)$ -симметрии проявляется при $\mu H/4m \geq 1$, где $4m$ - разность масс резонанса N^{++} и протона.

При магнитных полях ($H \geq 10^{19}$ гаусс), превышающих на 4 порядка максимальное значение полей, предполагаемых ныне в пульсарах, намагничение протонов $I_p = \chi_p H$ в полтора раза должно превышать $N\mu$.

Из рассмотрения следует, что если протон описывается представлением какой либо симметрии, более высокой чем $SU(2)$ -симметрия, то максимальное значение намагничения I_p может отличаться от $N\mu$. Для этого необходимо лишь, чтобы протон содержался в одном и том же супермультиплете с частицей, квантовые числа которой разрешают иметь магнитный момент перехода между ними.

В приложении рассмотрены свойства симметрии коэффициентов Клебса-Гордона группы $SU(6)$. Обсужденные соотношения позволяют уточнить значения унитарного скалярного фактора, приведенные в интературе.

ВЫВОДЫ

В части диссертации рассмотрены эффекты поляризации спина, первоначально проявленные в первых экспериментах по изучению несохранения четности в слабых взаимодействиях. Именно:

1. Показано, что основной механизм деполяризации μ^- -мезонов, образовавшихся при распадах π^- -мезонов в различных элементах ($Z > 1$) обусловлен спин-орбитальным взаимодействием в μ^- -мезоне.

2. В случае мезоатомов с ядерным спином новь построена теория, описывающая наблюдаемую остаточную поляризацию.

Из сравнения теории с экспериментом следует, что

а) $V-A$ теория объясняет угловое распределение электронов в распадах μ^- -мезонов, рождающихся при распадах π^- -мезонов.

б) Влияние соседних атомов и электронов в веществе приводит к компенсации магнитного момента электронной оболочки.

в) При низких температурах, а также в случаях, когда в качестве мишеней используются химические соединения, должны быть учтены другие взаимодействия, помимо рассмотренных в диссертации.

3. Исследованы эффекты угловых корреляций излучений мезоатома с поляризованным мезоном. Частные случаи формулы, наиболее общая в теории угловых корреляций, предоставляют возможность определения спиральности мезона.

4. Развита теория поляризации ядер методом Гортера-Роуза, объясняющая зависимость степеней ориентации от внешнего магнитного поля и температуры. Известные формулы Стюнберга и Роуза и др. при определенных ограничениях следуют из выражения, выведенного в диссертации.

5. С помощью указанной теории, в рамках $V-A$ варианта получено описание асимметрии, наблюденной в угловом распределении электронов распада ядер Co^{60} (эксперимент Ву и др.).

Формализм группы вращений, использованием которого получены отмеченные результаты, применен также при рассмотрении вопросов, относящихся к теории возбуждения ядер. В этой области:

6. Выведена дисперсионная формула, учитывающая вклад резонансов и ядерных сдвигов фаз в неупругом рассеянии нерелятивистских частиц.

7. Из выражения для сечения возбуждения, полученного на основании последней следует, что

а) Расширена область применимости теории, так как вследствие включения ядерных взаимодействий энергия излетающей частицы теперь не ограничена сверху значением энергии кулоновского барьера.

б) Наблюдающиеся резонансы могут быть исследованы для выявления изобарически аналоговых состояний.

в) Вероятность обнаружения переходов $M1$ значительно возрастает, если ядра будут бомбардированы частицами со спином $i > 1/2$.

г) При возбуждении невысоких состояний ядер, в согласии с экспериментом, вклад интерференции резонансной и нерезонансной амплитуд должен быть малым.

В диссертации обсуждаются также вопросы, относящиеся к внутренним свойствам симметрии частиц и легких ядер.

8. Экспериментальное исследование рассмотренных реакций фоторождения на дейтроне и He^4 указывает верхний предел доли изотензорных членов в электромагнитном взаимодействии.

9. Показано, что магнитная восприимчивость протонов в симметрии $SU(6)$, нарушенной полусильным взаимодействием, в отличие от ненарушенной, согласуется с имеющимися данными эксперимента.

Максимальное отличие от предсказания симметрии $SU(2)$ проявилось бы при больших полях.

10. Значение намагничения в случае полей $H \geq 10^{19}$ гаусс связано с вопросом, имеет ли протон отношение к сложным симметриям.

Материалы диссертации были представлены и доложены на Втором совещании по космическим лучам и частицам высоких энергий (Ереван, 1958), XLI и XIX Ежегодных совещаниях по ядерной спектроскопии и структуре атомного ядра (Москва, 1966 и Ереван, 1969), IX и X Международных конференциях по физике высоких энергий (Киев, 1959 и Киев, 1970), Международном конгрессе по ядерной физике (Париж, 1964) и опубликованы в работах [1], [4 - 21].

ЛИТЕРАТУРА

1. В.А.Дирбашян. Деполяризация μ^- -мезона при мезоатомных переходах. ИЭТФ, 36, 277, 1959.
2. В.А.Дирбашян. $\gamma - \gamma$ угловая корреляция при мезоатомных переходах. ИЭТФ, 31, 1090, 1956.
3. В.А.Дирбашян. Об угловой корреляции γ -квантов, излучаемых мезоатомами. Изв. АН Арм. ССР, серия физ.мат. наук, 10, 81, 1957.
4. В.А.Дирбашян. Влияние поляризации μ^- -мезона на эффект корреляции γ -лучей, испускаемых мезоатомом. ИЭТФ, 34, 260, 1958.
5. В.А.Дирбашян. Угловое распределение и угловая корреляция излучений ядер с ориентированными электронными оболочками. ИЭТФ, 36, 1240, 1959.
6. В.А.Дирбашян. Угловая корреляция циркулярно поляризованных γ -квантов на μ^- -мезоатоме. ИЭТФ, 35, 307, 1958.
7. В.А.Дирбашян. Об одном возможном методе определения направления поляризации μ^- -мезона. ИЭТФ, 36, 1572, 1959.
8. V.A.Djrbashian. Polarization of nuclei by interaction with electron shells. Nuclear Phys. A103, 177, 1967.
9. В.А.Дирбашян. Бета-симметрия при поляризации ядер методом Гортера-Роуда. Изв. АН Арм. ССР, физика, 7, 165, 1972.
10. В.А.Дирбашян. Гамма-анизотропия при поляризации ядер методом Гортера-Роуда. Изв. АН Арм. ССР, физика, 6, 439, 1971.
11. В.А.Дирбашян. О степенях ориентации ядер. Изв. АН Арм. ССР, физика, 6, 433, 1971.
12. В.А.Дирбашян. Электромагнитное возбуждение ядра медленной частицей с произвольным спином. Изв. АН Арм. ССР, серия

физ.мат.наук, 17, 99, 1964.

13. В.А.Дирбамян. Возбуждение ядер медленными заряженными частицами. ИЭФ, 44, 157, 1963.

14. В.А.Дирбамян. Дисперсионная формула в теории возбуждения ядер. Изв. АН Арм. ССР, серия физ.мат. наук, 16, 87, 1963.

15. V.A.Djrbashian.Excitation of the nuclei by non-relativistic particles.
Comptes Rendus du Congr.Int.de Phys. Nucléaire, Paris, 2, 838, 1964.

16. В.А.Дирбамян. Об интерференционном эффекте при возбуждении Na^{43} протонами. ДАН Арм. ССР, 40, 19, 1965.

17. V.A.Djrbashian. Excitation of nuclei by a particle field. Nuclear Phys. 65, 167, 1965.

18. В.А.Дирбамян. Угловое распределение γ -лучей, испускаемых при снятии возбуждения ядер. Изв. АН ССР, серия физическая, 30, 1281, 1966; Nuclear Phys., 81, 215, 1966.

19. В.А.Дирбамян. Изотопические соотношения для процессов фоторождения. Изв. АН Арм. ССР, физика, 2, 440, 1967.

20. В.А.Дирбамян. О магнитных моментах баронов в схеме SU(6)-симметрии. Изв. АН Арм. ССР, физика, 3, 408, 1968; Препринт ЕРФИ, ТФ-1, 1968.

21. В.А.Дирбамян. Магнитная восприимчивость и поляризация протона в нарушенной симметрии SU(6). Изв. АН Арм. ССР, физика, 4, 298, 1969; Препринт ЕРФИ ТФ-3, 1969.

Заказ 0637

Б6-03271

Тираж 180

Отпечатано на ротапринтере
Ереванского физического института, Ереван 36, пер. Маркаряна 2